

IV120: Spojité a hybridní systémy

David Šafránek

30.4.2013

Tento projekt je spolufinancován Evropským sociálním fondem a státním rozpočtem České republiky.



Obsah

Dynamický systém genové regulace

Po částech nelineární systém a jeho diskretizace

Obsah

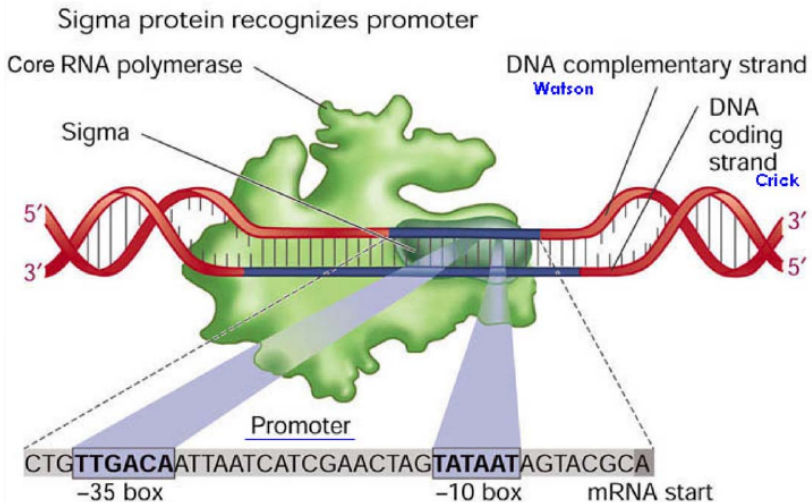
Dynamický systém genové regulace

Po částech nelineární systém a jeho diskretizace

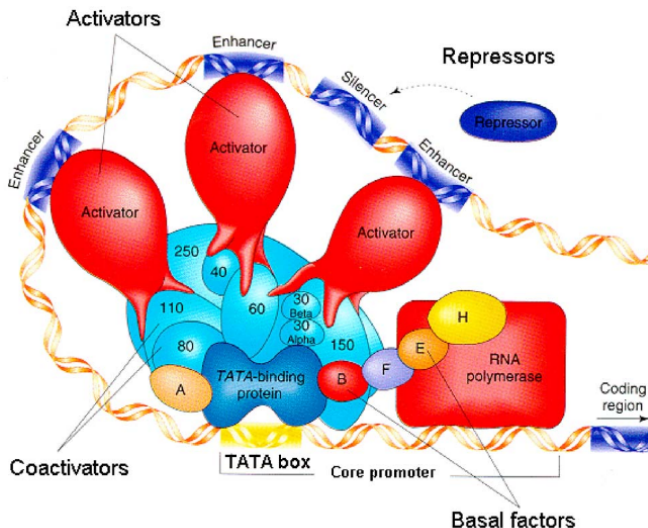
Distribuce časových škál v buňce

Experimentálně zjištěný parametr	E.Coli
Vazba molekuly signálu na transkripční faktor vedoucí ke změně aktivity faktoru	~ 1 msec
Vazby aktivního faktoru na operon DNA	~ 1 sec
Transkripcie + translace jednoho genu	~ 5 min
Životnost mRNA	~ 2 – 5 min
50% změna koncentrace stabilního proteinu	~ 1 h

Transkripce v prokaryotické buňce



Transkripce v eukaryotické buňce



Jak modelovat dynamiku transkripční regulace?

- chceme modelovat změny koncentrace proteinů se zaměřením na jejich syntézu a rozpad v buňce
 - časová škála životnosti proteinů
 - např. v *E. coli* ~ desítky minut - hodiny
 - vs. doba jednoho buněčného cyklu (u *E. coli* min. 30 minut)
 - doba odezvy syntézy jedné molekuly proteinu ~ jednotky minut
- ⇒ dynamika proteinů zajímavá v časové škále desítek minut

Transkripční kinetika dle mass action

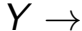


- uvažujme dynamiku (syntéza, rozpad) proteinu Y

syntéza:



rozpad:



- obě reakce zahrnují mnoho dílčích jevů

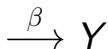
r1 tvorba mRNA, činnost transkripčních faktorů, tvorba tRNA,
činnost RNA polymerázy, ...

r2 rozpad proteinu v buňce, snížení koncentrace vlivem růstu, ...

Transkripční kinetika dle mass action

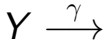
- uvažujme dynamiku (syntéza, rozpad) proteinu Y

syntéza:



β ... produkční koeficient [$M \cdot s^{-1}$]

rozpad:

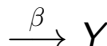


γ ... degradační koeficient [s^{-1}]

Transkripční kinetika dle mass action

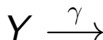
- uvažujme dynamiku (syntéza, rozpad) proteinu Y

syntéza:



β ... produkční koeficient [$M \cdot s^{-1}$]

rozpad:



γ ... degradační koeficient [s^{-1}]

- dle mass action kinetics dostáváme:

$$\frac{dY}{dt} = \beta - \gamma Y$$

Transkripční kinetika dle mass action

- dle mass action kinetics máme:

$$\frac{dY}{dt} = \beta - \gamma Y$$

- $\beta \sim \beta' \cdot p$

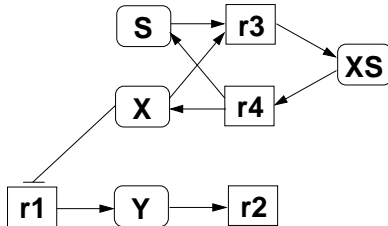
β' ... rychlosť transkripcie (inflow mRNA) [$\#mRNA \cdot sec^{-1}$]

p ... množstvı molekul Y vyrobených translací z jedné mRNA

- γ ... rychlosť rozpadu proteinu + dilatace buňky

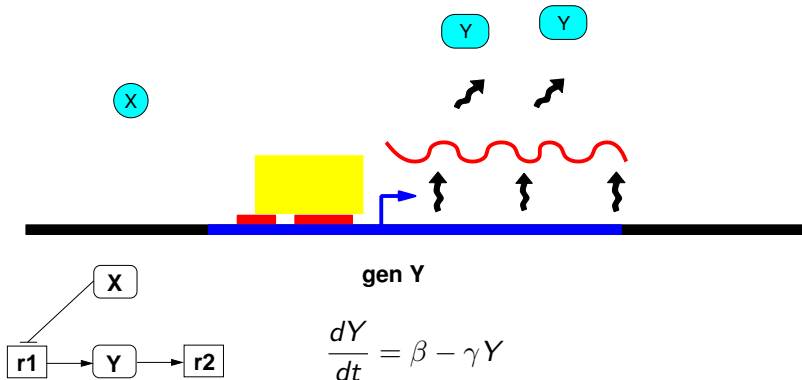
Negativní regulace (represe) transkripce

- transkripční faktor X degraduje transkripci proteinu Y
- Řízeno snížením řídícího signálu S (uvolnění X z vazby $X : S$)



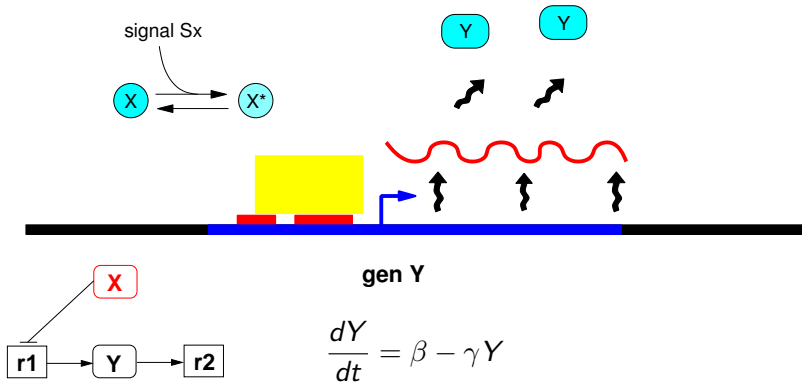
Negativní regulace (represe) transkripce

- transkripční faktor X degraduje transkripci proteinu Y
- řízeno snížením řídícího signálu S (uvolnění X z vazby X : S)



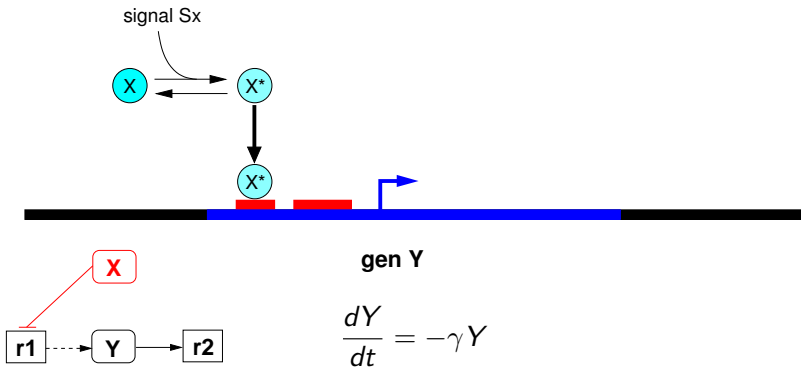
Negativní regulace (represe) transkripce

- transkripční faktor X degraduje transkripci proteinu Y
- řízeno snížením řídícího signálu S (uvolnění X z vazby $X : S$)

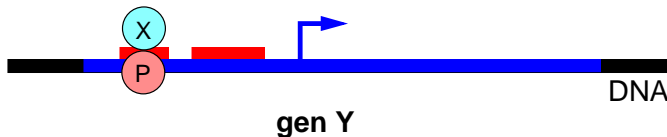


Negativní regulace (represe) transkripce

- transkripční faktor X degraduje transkripci proteinu Y
- řízeno snížením řídícího signálu S (uvolnění X z vazby $X : S$)



Vazba represoru na promotor



- reakční síť:



- totální koncentrace promotoru (P_T) konzervována mezi volné promotory (volné molekuly substrátu P) a vázané promotory (komplexy $[XP]$)

$$P_T = [XP] + P$$

Dynamika vazby represoru na promotor

- dynamika komplexu XP (mass action):

$$\frac{d[XP]}{dt} = k_{on}XP - k_{off}[XP]$$

- kin. konstanta mass action (zde k_{on}) je obecně limitována fyzikálními možnostmi kolize proteinových molekul:

$$k_{on} \sim 10^8 - 10^9 M^{-1}s^{-1}$$

- uvažujeme-li kolize molekuly proteinu X s DNA, je limit vyšší (fyzikální tendence "1-dimenzionálního pohybu" po DNA):

$$k_{on} \sim 10^{10} - 10^{11} M^{-1}s^{-1}$$

- k_{off} [s^{-1}] determinováno vlastnostmi chemické vazby $X : P$

Dynamika vazby represoru na promotor

Kvazistabilní approximace

- reakční toky v síti $X + P \rightleftharpoons XP$ se ustálí:

$$\frac{d[XP]}{dt} = 0 \Leftrightarrow k_{on}XP - k_{off}[XP] = 0$$

$$\Leftrightarrow \frac{k_{off}}{k_{on}} = \frac{XP}{[XP]}$$

- $K_d = \frac{k_{off}}{k_{on}} [M]$ nazýváme *disociačním prahem*
- čím větší je K_d tím slabší je vazba $X : P$

Dynamika vazby represoru na promotor

- připomeňme $P_T = [XP] + P$
- v buňce je mnoho kopií DNA, tedy mnoho promotorů
- pro procento všech volných (aktivních) promotorů platí:

$$\frac{P}{P_T} = \frac{1}{1 + \frac{X}{K_d}}$$

- většina vazeb represor-promotor splňuje $k_{off} > 1s^{-1}$
 - časová škála $[XP] \sim$ jednotky sekund (vs. transkripce $\sim [min]$)
 - průměr přes mnoho událostí syntézy a rozpadu $[XP]$ v čase
- $\Rightarrow \frac{P}{P_T} \approx$ pravděpodobnost jevu, že P je v daném okamžiku volný

$$\frac{P}{P_T} = 1 \Leftrightarrow X = 0$$

$$\frac{P}{P_T} = \frac{1}{2} \Leftrightarrow X = K_d$$

Aktivita promotoru

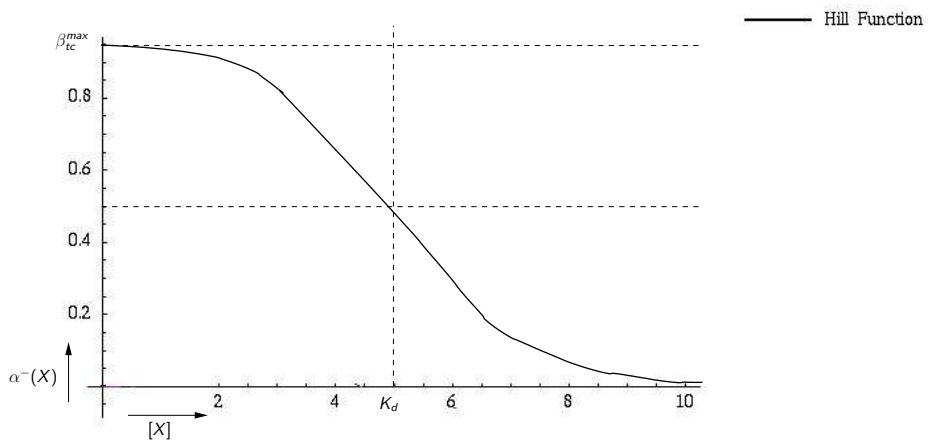
- v nepřítomnosti represoru (P volný) se váže RNA-polymeráza
- tato situace určuje *maximální transkripční koeficient* β_{max}

$$\beta_{max} \sim 10^{-4} - 10^0 [\#mRNA \cdot s^{-1}]$$

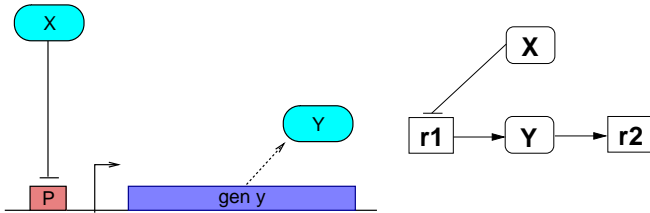
- β_{max} je dána mnoha biofyzikálními aspekty
 - např. pozice vazebného místa [DNA]:[RNAPolymeráza]
- *aktivita promotoru P regulovaného represorem X:*

$$\alpha_P^-(X) = \frac{\beta_{max}}{1 + \frac{X}{K_d}}$$

- tzv. Hillova funkce

Aktivita promotoru v závislosti na regulujícím represoru

Exprese genu v závislosti na regulujícím represoru



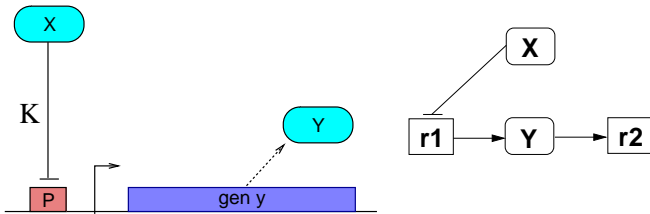
reakční síť:

$$r_1 : \rightarrow Y; X \quad r_2 : Y \rightarrow$$

model kinetiky:

$$\frac{dY}{dt} = \alpha_P^-(X) - \gamma Y$$

Exprese genu v závislosti na regulujícím represoru



reakční síť:

$$r_1 : \rightarrow Y; X^- (K) \qquad \qquad r_2 : Y \rightarrow$$

model kinetiky:

$$\frac{dY}{dt} = \beta_{max} \frac{1}{1 + \frac{X}{K}} - \gamma Y$$

Pozitivní regulace (aktivace) transkripce

- transkripční faktor X aktivuje transkripci proteinu Y
- řízeno zvýšením řídícího signálu S (X vázáno v $X : S$)

(X)

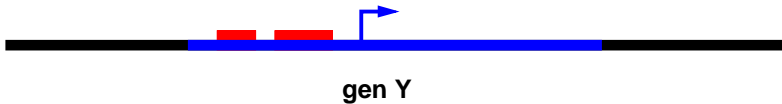
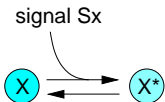


gen Y

$$\frac{dY}{dt} = -\gamma Y$$

Pozitivní regulace (aktivace) transkripce

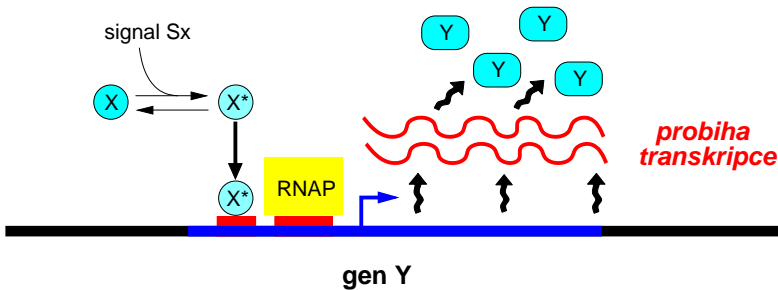
- transkripční faktor X aktivuje transkripci proteinu Y
- řízeno zvýšením řídícího signálu S (X vázáno v $X : S$)



$$\frac{dY}{dt} = -\gamma Y$$

Pozitivní regulace (aktivace) transkripce

- transkripční faktor X aktivuje transkripci proteinu Y
- Řízeno zvýšením řídícího signálu S (X vázáno v $X : S$)



$$\frac{dY}{dt} = \beta - \gamma Y$$

Aktivační vstupní funkce promotoru

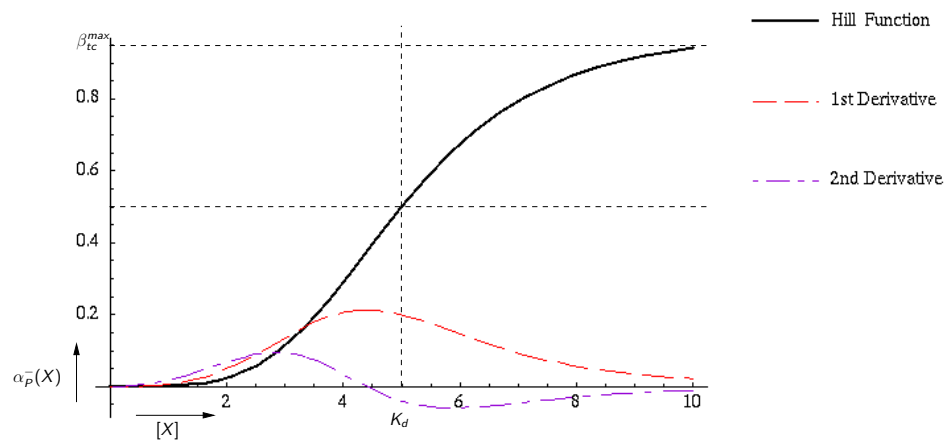
- předpokládáme promotor P a aktivátor X aktivovaný signálem S
- aktivita přímo úměrná koncentraci komplexu $X : P$
- *aktivita promotoru P regulovaného aktivátorem X :*

$$\alpha_P^+(X) = \frac{\beta_{max} X}{K_d + X}$$

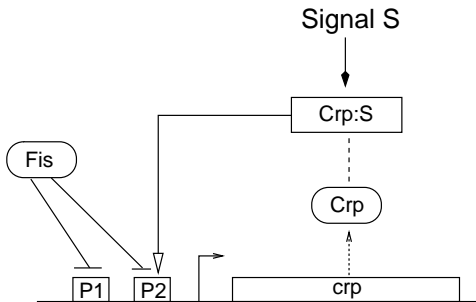
- dána aktivitou P regulovanou **aktivním** aktivátorem X :

$$f_P^+(X^*) = \alpha_P^+(X^*) = \frac{\beta_{max} X^*}{K_d + X^*}$$

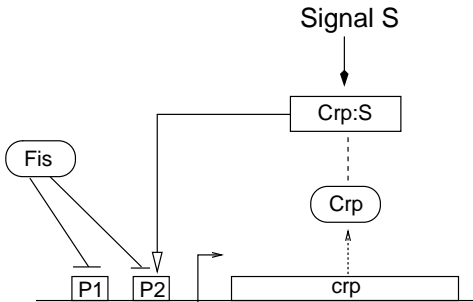
Aktivita promotoru v závislosti na regulujícím aktivátoru



Příklad modelu regulace



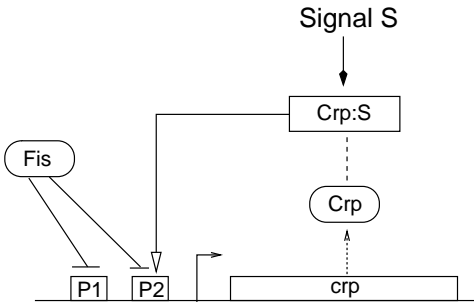
Příklad modelu regulace



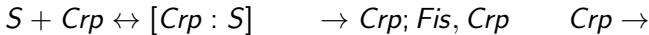
- reakční síť:



Příklad modelu regulace



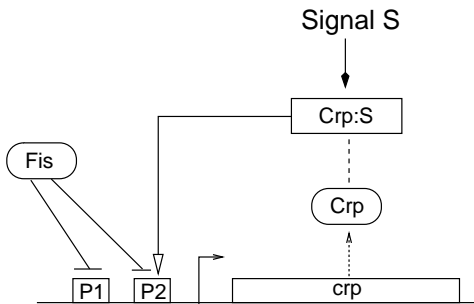
- reakční síť:



- model:

$$\frac{d[\text{Crp}]}{dt} = \beta_{P1}^{\max} f^-(\text{Fis}) + \beta_{P2}^{\max} f^-(\text{Fis})f^+(\text{Crp} : S) - \gamma[\text{Crp}]$$

Příklad modelu regulace



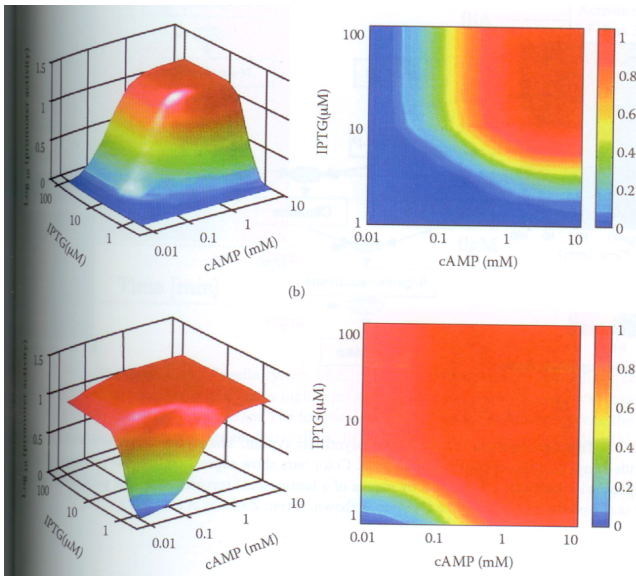
- reakční síť:



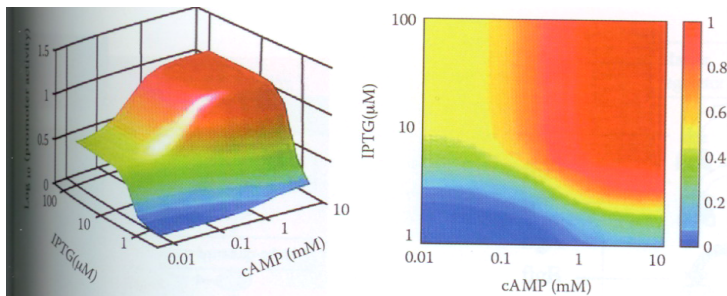
- zjednodušený model (S konstantní):

$$\frac{d[\text{Crp}]}{dt} = \beta_{P1}^{\max} f^-(\text{Fis}) + \beta_{P2}^{\max} f^-(\text{Fis})f^+(\text{Crp}) - \gamma[\text{Crp}]$$

Vícerozměrné vstupní funkce (*AND*, *OR*)



Vícerozměrné vstupní funkce



Obsah

Dynamický systém genové regulace

Po částech nelineární systém a jeho diskretizace

Aproximace vstupních funkcí

- vzhledem k S-charakteru vstupní funkce lze uplatnit její approximaci pomocí schodové funkce regulace aktivátorem X :

$$f^+(X) = \beta^{\max} \varrho^+(X) \approx \beta^{\max} s^+(X, K)$$

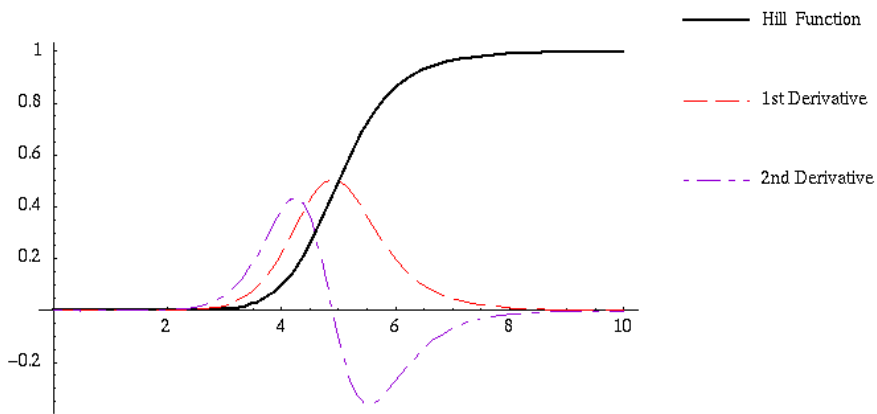
regulace represorem X :

$$f^-(X) = \beta^{\max} \varrho^-(X) \approx \beta^{\max} s^-(X, K)$$

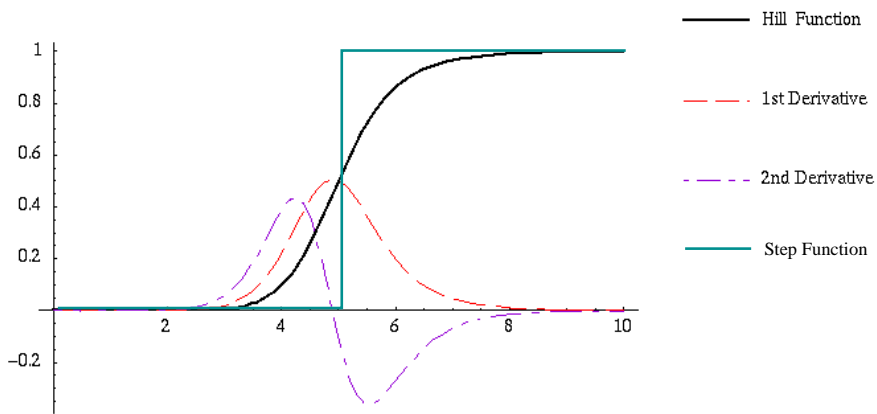
$$s^+(X, K) = \begin{cases} 1, & \text{if } X > K, \\ 0, & \text{if } X \leq K, \end{cases} \quad s^-(X, K) = 1 - s^+(X, K)$$

- spojitý model je approximován náhradou Hillových funkcí schodovými funkcemi (kinetická logika)

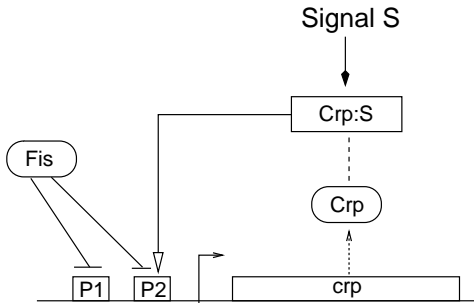
Diskretizace vstupní funkce ($s^+(X) \approx \varrho^+(X)$)



Diskretizace vstupní funkce ($s^+(X) \approx \varrho^+(X)$)

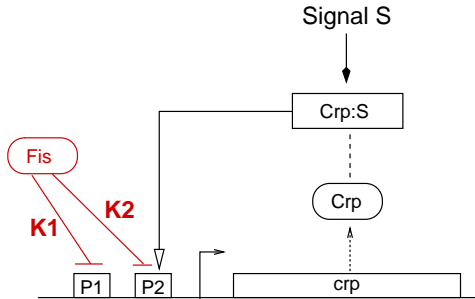


Příklad modelu regulace


 $\rightarrow \text{Crp}$
 $\rightarrow \text{Crp}; \text{Fis}, \text{Crp}, S$
 $\text{Crp} \rightarrow$

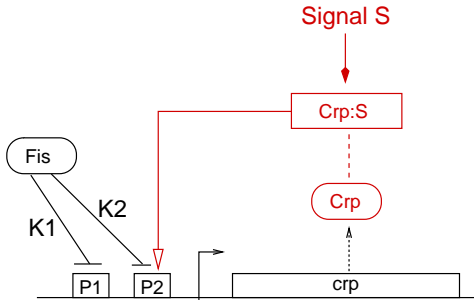
$$\frac{d[\text{Crp}]}{dt} = \beta_{P_1}^0 + \beta_{P_1}^{\max} f^-(\text{Fis}) + \beta_{P_2}^{\max} f^-(\text{Fis})f^+(\text{Crp}, S) - \gamma[\text{Crp}]$$

Příklad modelu regulace


 $\rightarrow \text{Crp}$
 $\rightarrow \text{Crp}; \text{Fis}, \text{Crp}, S$
 $\text{Crp} \rightarrow$

$$\frac{d[\text{Crp}]}{dt} \approx \beta_{P_1}^0 + \beta_{P_1}^{\max} s^-(\text{Fis}, K_1) + \beta_{P_2}^{\max} s^-(\text{Fis}, K_2) f^+(\text{Crp}, S) - \gamma[\text{Crp}]$$

Příklad modelu regulace



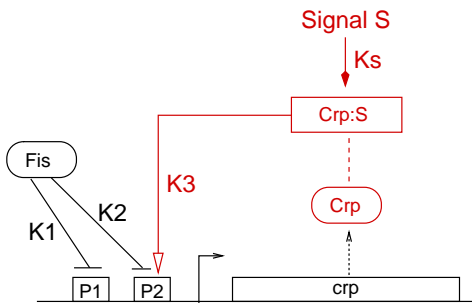
$\rightarrow Crp$

$\rightarrow Crp; Fis, Crp, S$

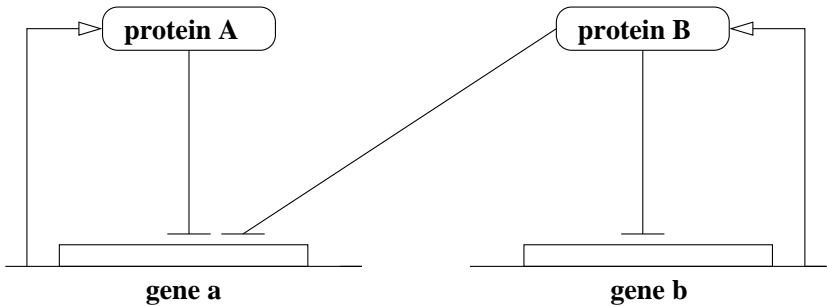
$Crp \rightarrow$

$$\frac{d[Crp]}{dt} \approx \beta_{P_1}^0 + \beta_{P_1}^{max} s^-(Fis, K_1) + \beta_{P_2}^{max} s^-(Fis, K_2) f^+(Crp, S) - \gamma [Crp]$$

Příklad modelu regulace


 $\rightarrow Crp$
 $\rightarrow Crp; Fis, Crp, S$
 $Crp \rightarrow$

$$\frac{d[Crp]}{dt} \approx \beta_{P_1}^0 + \beta_{P_1}^{max} s^-(Fis, K_1) + \beta_{P_2}^{max} s^-(Fis, K_2) s^+(Crp, K_3) s^+(S, K_s) - \gamma [Crp]$$

Intervalově lineární model transkripční regulace

$$\frac{d[A]}{dt} = \beta_a s^-(A, \theta_a^1) s^-(B, \theta_b^1) - \gamma_a [A]$$

$$\frac{d[B]}{dt} = \beta_b s^-(B, \theta_b^2) - \gamma_b [B]$$

Koncentrační prahy

- prahy na proměnné $[A]$
 - vstup pro represní funkci proteinu A , práh θ_a^1
 - intervalová charakteristika oboru hodnot:

$$0 < \theta_a^1 < max_a$$

$$\Rightarrow [A] \in \{(0, \theta_a^1), \theta_a^1, (\theta_a^1, max_a)\}$$

- prahy na proměnné $[B]$
 - vstup pro represní funkci proteinu A , práh θ_b^1
 - vstup pro represní funkci proteinu B , práh θ_b^2
 - intervalová charakteristika oboru hodnot:

$$0 < \theta_b^1 < \theta_b^2 < max_b$$

$$\Rightarrow [B] \in \{(0, \theta_b^1), \theta_b^1, (\theta_b^1, \theta_b^2), \theta_b^2, (\theta_b^2, max_b)\}$$

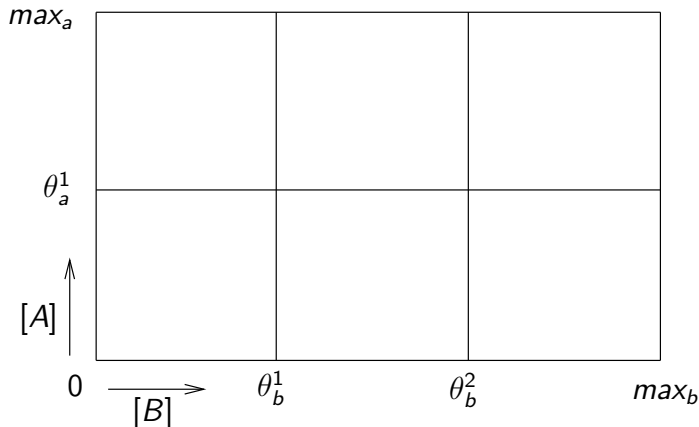
Kvalitativní charakteristika $\frac{dA}{dt}, \frac{dB}{dt}$

$s^-(A, \theta_a^1)$	$s^-(B, \theta_b^1)$	$s^-(B, \theta_b^2)$	$\frac{dA}{dt}$	$\frac{dB}{dt}$	Φ_A	Φ_B
0	*	1	$-\gamma_a[A]$	$\beta_b - \gamma_b[B]$	0	$\frac{\beta_b}{\gamma_b}$
0	*	0	$-\gamma_a[A]$	$-\gamma_b[B]$	0	0
1	1	1	$\beta_a - \gamma_a[A]$	$\beta_b - \gamma_b[B]$	$\frac{\beta_a}{\gamma_a}$	$\frac{\beta_b}{\gamma_b}$
1	1	0	$\beta_a - \gamma_a[A]$	$-\gamma_b[B]$	$\frac{\beta_a}{\gamma_a}$	0

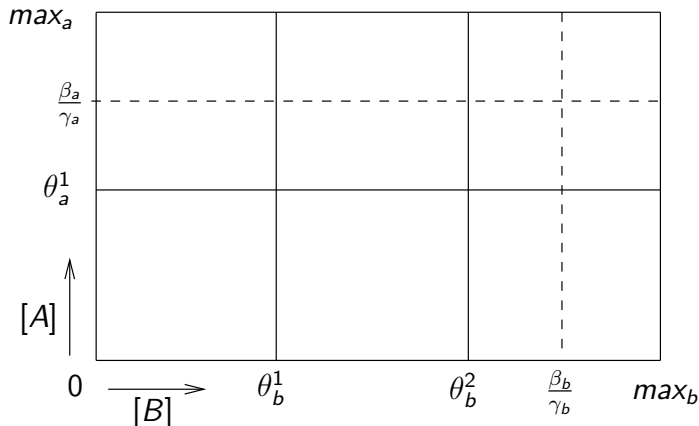
- pro každou kombinaci je soustava lineární
 - množina domén lineární regulace (*regulatorní domény*):

$$\{(0, \theta_a^1), (\theta_a^1, \max_a)\} \times \{(0, \theta_b^1), (\theta_b^1, \theta_b^2), (\theta_b^2, \max_b)\}$$

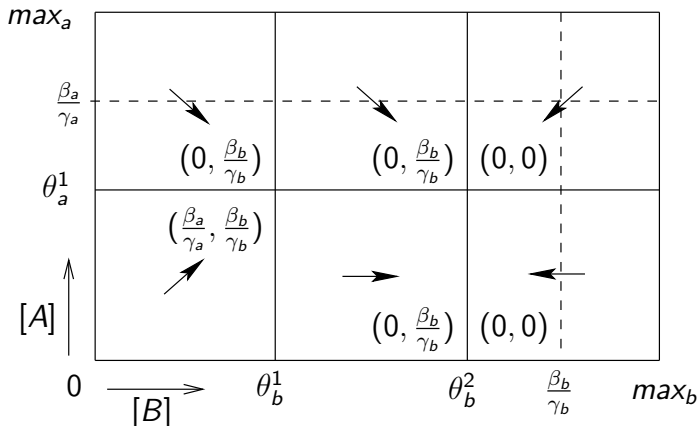
- řešení v doméně D směřují ke stejnemu ekvilibriu $\Phi(D)$
- v příkladu celkem 6 regulatorních domén

Rozdělení prostoru řešení

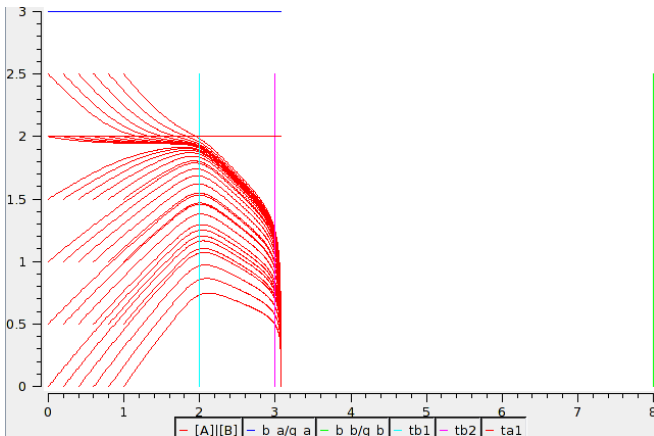
Určení pozice ekvilibrií



Vývoj v regulatorních doménách

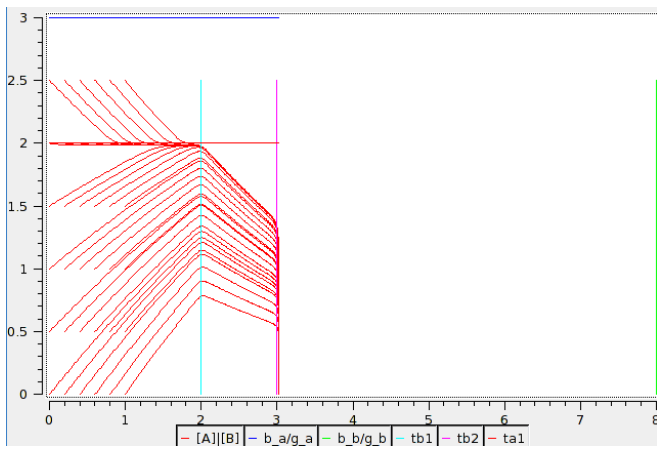


Chování spojitého systému



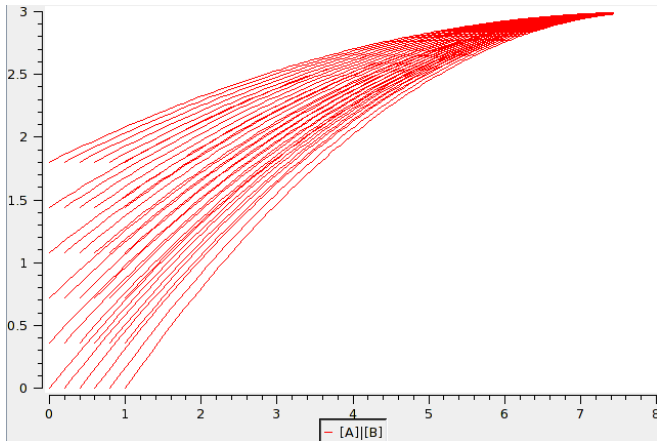
strmost vstupních funkcí: $n = 20$

Chování spojitého systému

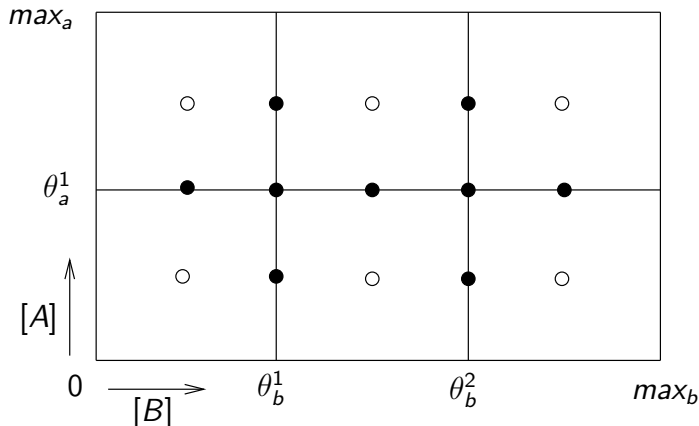


Chování spojitého systému v doméně

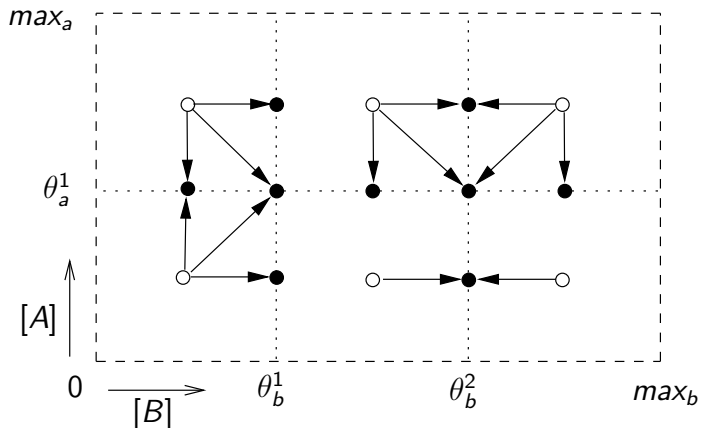
$$A \in \langle 0, \theta_a^1 \rangle, B \in \langle 0, \theta_b^1 \rangle$$



Stavový prostor



Chování v regulatorních doménách



Přechodové domény

- nadroviny dimenze striktně nižší než počet proměnných
- alespoň jedna z proměnných přechodová (rovna některému prahu):

$$\{\theta_a^1\} \times \{(0, \theta_b^1), \theta_b^1, (\theta_b^1, \theta_b^2), \theta_b^2, (\theta_b^2, max_b)\}$$

$$\cup \{(0, \theta_a^1), (\theta_a^1, max_a)\} \times \{\theta_b^1, \theta_b^2\}$$

- celkem 9 přechodových domén
- právě všechny úseky nespojitosti (nedefinovanosti) step-funkcí
- řád domény – počet regulatorních (nepřechodových) proměnných

Aproximace systému (Filippov)

- aproximace systému rovnic systémem inkruzí [Filippov]:
systém tvaru $\frac{d\vec{x}}{dt} = f(\vec{x})$ approximujeme systémem inkruzí $H(\vec{x})$:

$$\frac{d\vec{x}}{dt} \in H(\vec{x}) \quad (1)$$

- pro lib. reg. doménu D je $\forall \vec{x} \in D. H(\vec{x}) = \{f_D(\vec{x})\}$, kde $f_D(\vec{x})$ je lineární funkce směřující dynamiku do bodu $\Phi(D)$
- pro lib. přech. doménu D je:

$$\forall \vec{x} \in D. H(\vec{x}) = co(\{f_{D'}(\vec{x}) \mid D' \text{ reg. dom. sousedici s } D\})$$

$co(E)$... konvexní obal množiny bodů E

Aproximace systému (Filippov)

- aproximace systému rovnic systémem inkruzí [Filippov]:
systém tvaru $\frac{d\vec{x}}{dt} = f(\vec{x})$ approximujeme systémem inkruzí $H(\vec{x})$:

$$\frac{d\vec{x}}{dt} \in H(\vec{x}) \quad (1)$$

- pro lib. reg. doménu D je $\forall \vec{x} \in D. H(\vec{x}) = \{f_D(\vec{x})\}$, kde $f_D(\vec{x})$ je lineární funkce směřující dynamiku do bodu $\Phi(D)$
- pro lib. přech. doménu D je:

$$\forall \vec{x} \in D. H(\vec{x}) = co(\{f_{D'}(\vec{x}) \mid D' \text{ reg. dom. sousedici s } D\})$$

$co(E)$... konvexní obal množiny bodů E

Filippovova věta:

Spojitá funkce $\vec{x}(t)$ je pro iniciální problém $x(0) = x_0$ řešením systému (1) na $\langle 0, \tau \rangle$, $\tau > 0$, pokud pro skoro všechna $t \in \langle 0, \tau \rangle$ platí $\frac{d\vec{x}(t)}{dt} \in H(\vec{x}(t))$.

Chování v přechodových doménách

- pro přechodovou doménu D řádu k vývoj definován množinou cílových ekvilibrií:

$$\Phi(D) = C \cap \text{co}(\{\Phi(D') \mid D' \text{ sousední reg. dom.}\})$$

C ... nadrovina dimenze $(n - k)$ obsahující D

- $\Phi(D) = \emptyset$ — okamžitý odskok
spojitost řešení zachována návazností domén
 D tzv. *transparentní zed'*
- $\Phi(D) \neq \emptyset$ — mód skluzu
 D tzv. *černá zed'* (dochází ke zlomu)
- pokud navíc $\Phi(D) \cap D \neq \emptyset$, existuje na D stabilní bod

Chování v přechodových doménách

- pro přechodovou doménu D řádu k vývoj definován množinou cílových ekvilibrií:

$$\Phi(D) = C \cap \text{co}(\{\Phi(D') \mid D' \text{ sousední reg. dom.}\})$$

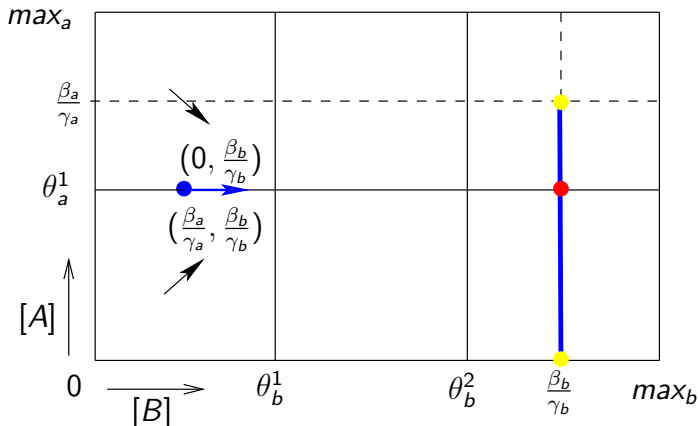
C ... nadrovina dimenze $(n - k)$ obsahující D

- $\Phi(D) = \emptyset$ — okamžitý odskok
spojitost řešení zachována návazností domén
 D tzv. *transparentní zed'*
- $\Phi(D) \neq \emptyset$ — mód skluzu
 D tzv. *černá zed'* (dochází ke zlomu)
- pokud navíc $\Phi(D) \cap D \neq \emptyset$, existuje na D stabilní bod
- dále (nad)aproximujeme $\Phi(D) \sqsubseteq \psi(D)$:

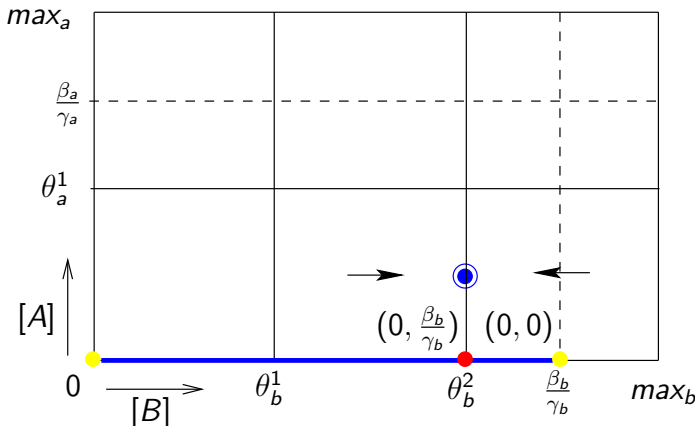
$$\psi(D) = C \cap \text{rect}(\{\Phi(D') \mid D' \text{ sousední reg. dom.}\})$$

$\text{rect}(E) \sqsupseteq \text{co}(E)$... nejmenší (hyper)obdélník zahrnující E

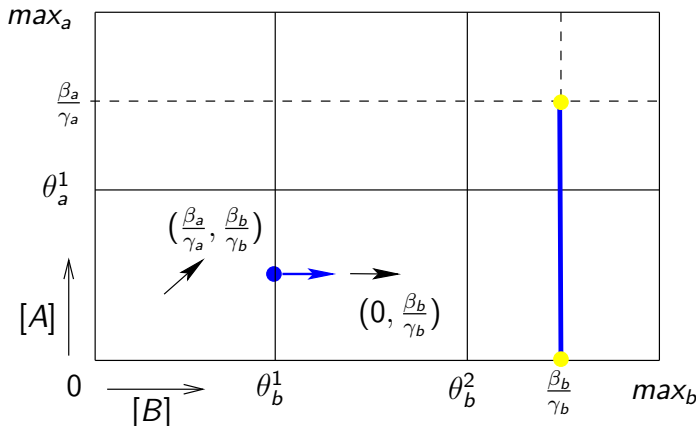
Chování v přechodových doménách – skluz



Chování v přechodových doménách – ekvilibrium



Chování v přechodových doménách – odskok



Konstrukce diskrétní (kvalitativní) simulace

Uvažme systém $\frac{d\langle x_1, \dots, x_n \rangle}{dt} = f(\langle x_1, \dots, x_n \rangle)$ kde na každé proměnné $x_i(t) \in \mathbb{R}_+$ je definována množina prahů $Tr_i = \{\theta_i^1, \theta_i^2, \dots, \theta_i^{k_i}\}$, $k_i \geq 0$, t.ž. $0 < \theta_i^1 < \theta_i^2 < \dots < \theta_i^n < max_i$.

Definujeme přechodový systém $QS \equiv \langle S, T, S_0 \rangle$ kde

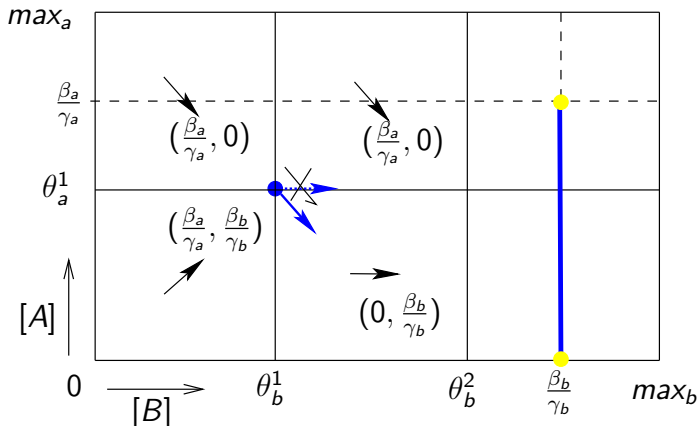
- S je konečná množina všech domén systému (stav příslušný k doméně D značíme DS)
- $T \subseteq S \times S$ je přechodová relace (def. viz dále)
- $S_0 \subseteq S$ je neprázdná množina iniciálních stavů

Konstrukce diskrétní (kvalitativní) simulace

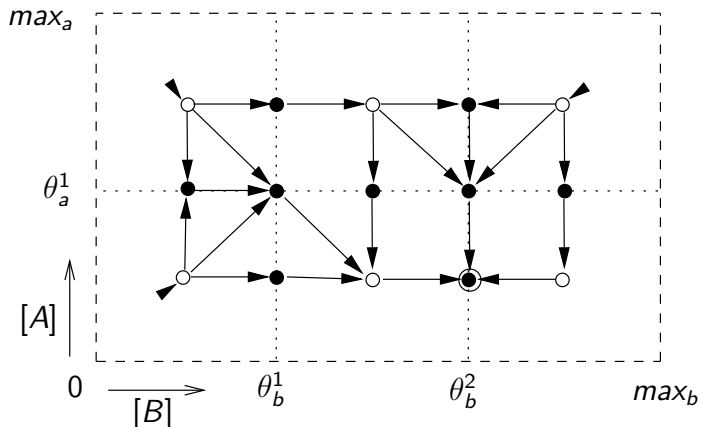
Nechť D, D' domény a nechť $\vec{w} \in \{-1, 0, 1\}^n$ vektor určující vzájemnou pozici D a D' .

- Pokud D vyššího řádu než D' pak $\langle DS, DS' \rangle \in T \Leftrightarrow$
 1. $\psi(D) \neq \emptyset$
 2. Pro každou x_i přechodovou proměnnou v D' , přitom regulatorní v D , existují body $p \in D$ a $p' \in \psi(D)$ t.ž.
 $\forall i. (p' - p)_i \cdot w_i > 0.$
- Pokud D nižšího řádu než D' pak $\langle DS, DS' \rangle \in T \Leftrightarrow$
 1. $\psi(D') \neq \emptyset$
 2. Pro každou x_i přechodovou proměnnou v D , přitom regulatorní v D' , existují body $p \in D'$ a $p' \in \psi(D')$ t.ž.
 $\forall i. (p' - p)_i \cdot w_i \geq 0.$

Přechod z domény nižšího do vyššího rádu



Diskrétní (kvalitativní) simulace



Vlastnosti kvalitativní simulace

Nechť \mathcal{M} je intervalově lineární model daný systémem rovnic
 $\frac{d\langle x_1, \dots, x_n \rangle}{dt} = f(\vec{x})$. Pro iniciální podmínu $\vec{x}(0) = \vec{x}_0$ uvažujeme spojitou sémantiku modelu \mathcal{M} , $[\vec{x}]_{\mathcal{M}}^c \in \Sigma_{\mathcal{M}}$,
 $[\vec{x}]_{\mathcal{M}}^c(t) = \langle x_1(t), \dots, x_n(t) \rangle$.

Nechť pro každé x_i je definována množina prahů

$Tr_i = \{\theta_i^1, \theta_i^2, \dots, \theta_i^{k_i}\}$, $k_i \geq 0$, t.č. $0 < \theta_i^1 < \theta_i^2 < \dots < \theta_i^{k_i} < max_i$,
 $\theta_i^0 = 0$ a $\theta_i^{k_i+1} = max_i$. Označme:

$$\mathbb{N}_i = \{(\theta_i^p, \theta_i^q) \subset \mathbb{R} \mid p, q \in \mathbb{N}, 0 \leq p \leq k_i, q = p + 1\} \cup \{\theta_i^p \mid 0 < p \leq k_i\}.$$

Nechť $QS = \langle S, T, \{DS_0\} \rangle$ kvalitativní přechodový systém. Pro iniciální doménu D_0 definujeme diskrétní sémantiku modelu \mathcal{M} ,
 $[\vec{x}]_{\mathcal{M}}^d \in \prod_{i=1}^n \mathbb{N}_i$,

- $[\vec{x}]_{\mathcal{M}}^d(0) = D_0$
- $[\vec{x}]_{\mathcal{M}}^d(i) = D'$, kde $\langle DS, DS' \rangle \in T$, $D = [\vec{x}]_{\mathcal{M}}^d(i-1)$.

Vlastnosti kvalitativní simulace

Konzervativnost

Nechť $\vec{x}(0) = \vec{x}_0$ iniciální podmínka a D_0 doména t.z. $\vec{x}_0 \in D_0$.

Pro libovolné $\tau \in \mathbb{R}_+, \tau > 0$ existuje $\delta \in \mathbb{N}, \delta \geq 0$ a posloupnost stavů $\prod_{i=0}^{\delta} [\vec{x}]_{\mathcal{M}}^d(i)$ (s itým členem značeným $\pi(i)$), tak že platí $\forall t \in \langle 0, \tau \rangle. [\vec{x}]_{\mathcal{M}}^c(t) \in \pi(j)$ kde $j \leq \delta$.

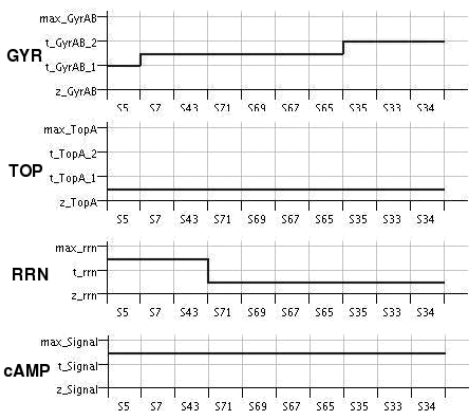
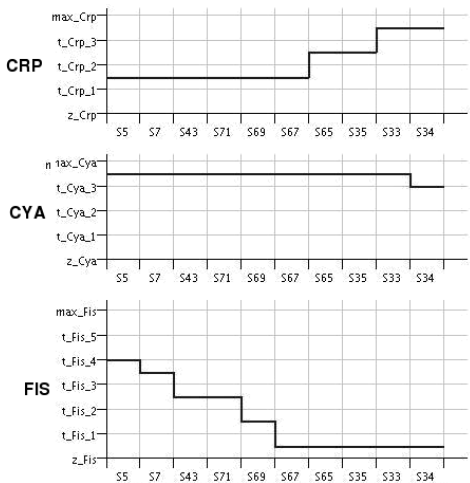
Neúplnost

Existuje simulační posloupnost $\prod_{i=0}^k [\vec{x}]_{\mathcal{M}}^d(i)$, iniciální podmínka $\vec{x}_0 \in D_0$ a $\tau > 0$ pro něž $[\vec{x}]_{\mathcal{M}}^c(t)$ není řešením systému pro $t \in \langle 0, \tau \rangle$.

Nástroj GNA (Genetic Network Analyzer)

- nástroj Genetic Network Analyzer (GNA)
<http://www.genostar.com/en/genostar-software/gnasim.html>
- umožňuje kvalitativní simulaci kinetiky
- využití aproximace pomocí schodových funkcí (represe, aktivace)
 - prostor řešení lze diskretizovat na konečný počet oblastí, v nichž chování degraduje v lineární rovnice
 - umožňuje abstrahovat od konkrétních hodnot
 - místo přesné hodnoty koncentrace rozlišujeme několik diskrétních úrovní
 - úrovně určeny pozicemi prahových hodnot a pozicemi v rozmezí mezi bezprostředně následujícími prahovými hodnotami schodových funkcí
 - různá chování pro různé uspořádání prahových hodnot schodových funkcí

Simulace v GNA (Model nutričního stresu *E. coli*)



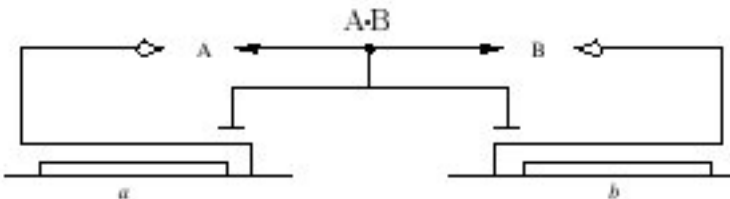
Simulace v GNA – vlastnosti

- abstrakce od kvantitativní znalosti kinetiky
 - ztrácíme informaci o čase
 - zachováváme však informaci o tranzientnosti všech diskrétních domén

Doména D je *tranzientní* pokud pro libovolný bod $v \in D$ existuje trajektorie, která v konečném čase opustí D .

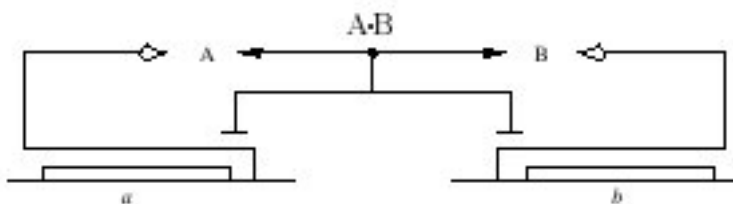
- algoritmus kvalitativní simulace GNA nadaproximuje (konzervativnost) znalost o tranzientních stavech

Simulace v GNA – neúplnost



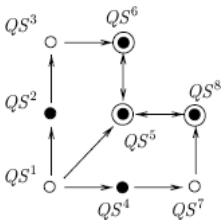
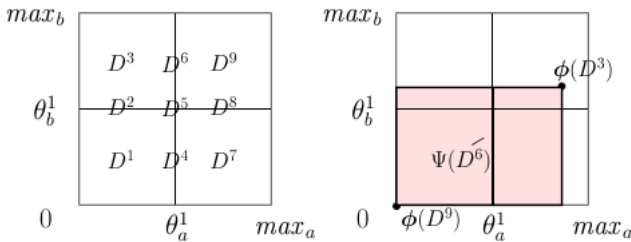
- $\frac{da}{dt} = \beta_a(1 - s^+(a, \theta_a^1)s^+(b, \theta_b^1)) - \gamma_a a$
- $\frac{db}{dt} = \beta_b(1 - s^+(a, \theta_a^1)s^+(b, \theta_b^1)) - \gamma_b b$
- rozsah exprese genu a : $0 < \theta_a^1 < max_a$
- rozsah exprese genu b : $0 < \theta_b^1 < max_b$

Simulace v GNA – neúplnost

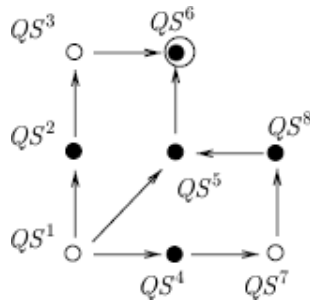
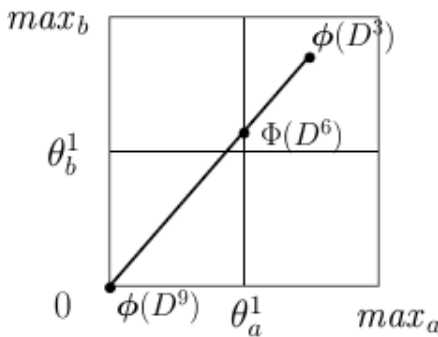


- $\frac{da}{dt} = \beta_a(1 - s^+(a, \theta_a^1)s^+(b, \theta_b^1)) - \gamma_a a$
- $\frac{db}{dt} = \beta_b(1 - s^+(a, \theta_a^1)s^+(b, \theta_b^1)) - \gamma_b b$
- dynamika genu a : $\theta_a^1 < \frac{\beta_a}{\gamma_a} < max_a$
- dynamika genu b : $\theta_b^1 < \frac{\beta_b}{\gamma_b} < max_b$

Simulace v GNA – neúplnost



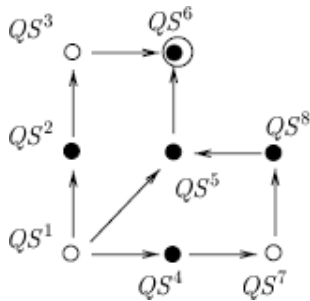
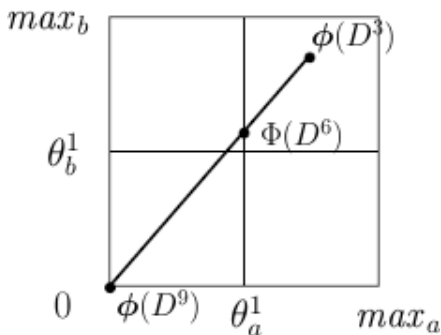
Simulace v GNA – neúplnost



$$\Phi(D_6) \in D_6$$

$$\Psi(D_6) \in \bigcup_{i=1}^9 D_i$$

Simulace v GNA – neúplnost

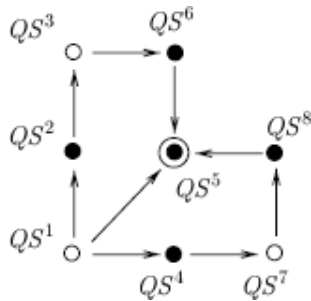
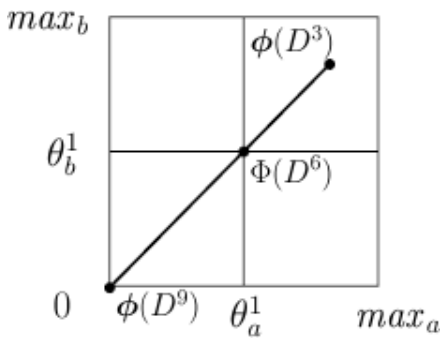


$$\Phi(D_6) \in D_6$$

$$\Psi(D_6) \in \bigcup_{i=1}^9 D_i$$

$$\frac{\gamma_a}{\kappa_a} \frac{\kappa_b}{\gamma_b} > \frac{\theta_b^1}{\theta_a^1}$$

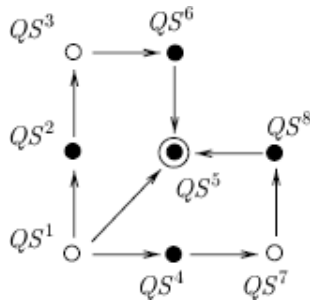
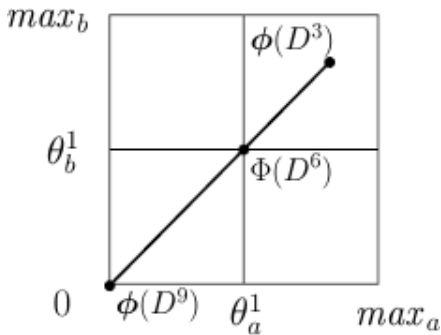
Simulace v GNA – neúplnost



$$\Phi(D_6) \in D_5$$

$$\Psi(D_6) \in \bigcup_{i=1}^9 D_i$$

Simulace v GNA – neúplnost

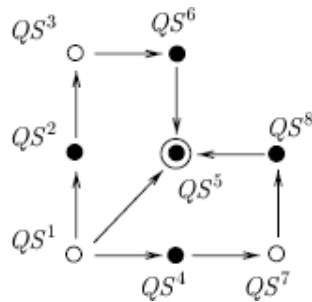
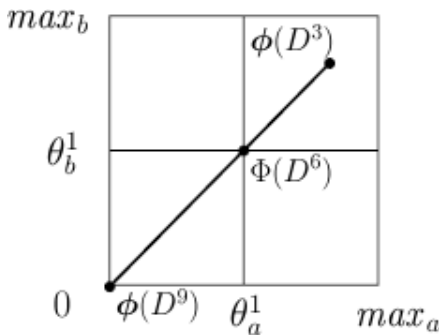


$$\Phi(D_6) \in D_5$$

$$\Psi(D_6) \in \bigcup_{i=1}^9 D_i$$

$$\frac{\gamma_a}{\kappa_a} \frac{\kappa_b}{\gamma_b} = \frac{\theta_b^1}{\theta_a^1}$$

Simulace v GNA – neúplnost



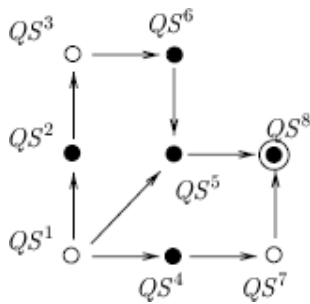
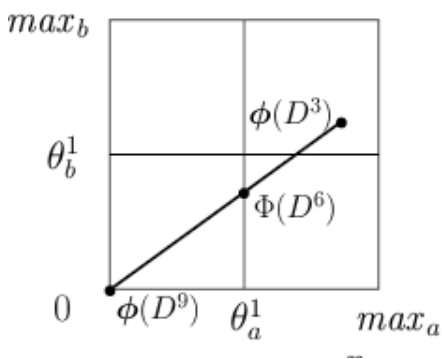
$$\Phi(D_6) \in D_5$$

$$\Psi(D_6) \in \bigcup_{i=1}^9 D_i$$

$$\Phi(D_5) \in D_5$$

$$\Psi(D_5) \in \bigcup_{i=1}^9 D_i$$

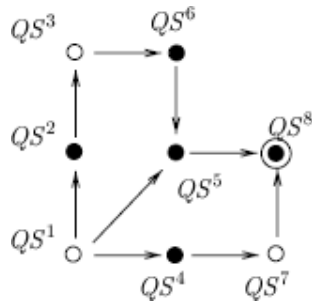
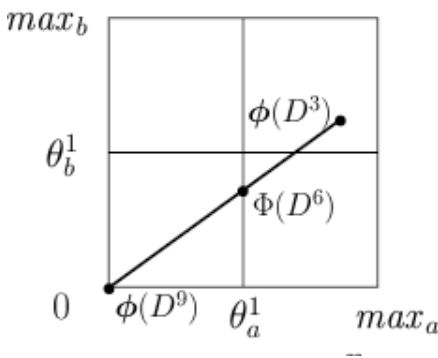
Simulace v GNA – neúplnost



$$\Phi(D_6) \in D_4$$

$$\Psi(D_6) \in \bigcup_{i=1}^9 D_i$$

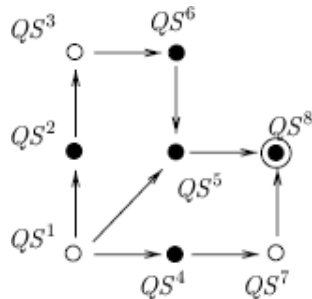
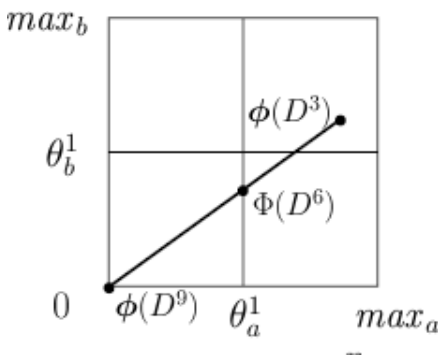
Simulace v GNA – neúplnost



$$\Phi(D_6) \in D_4 \quad \Psi(D_6) \in \bigcup_{i=1}^9 D_i$$

$$\frac{\gamma_a}{\kappa_a} \frac{\kappa_b}{\gamma_b} < \frac{\theta_b^1}{\theta_a^1}$$

Simulace v GNA – neúplnost



$$\Phi(D_6) \in D_4 \quad \Psi(D_6) \in \bigcup_{i=1}^9 D_i$$

$$\Phi(D_5) \in D_4 \quad \Psi(D_5) \in \bigcup_{i=1}^9 D_i$$

Literatura

-  de Jong, et. al. *Qualitative Simulation of Genetic Regulatory Networks Using Piecewise-Linear Models.* INRIA Technical Report RR-4407, 2002.
-  Brim, et.al. *On Algorithmic Analysis of Transcriptional Regulation by LTL Model Checking,* Theoretical Computer Science, in press, 2009.
-  Alon, U. *An Introduction to Systems Biology: Design Principles of Biological Circuits.* Chapman & Hall, 2006.
-  Bower, J.M. & Bolouri, H. *Computational Modeling of Genetic and Biochemical Networks.* Bradford Book, 2001.